

Integrabilidad, caos y entrelazamiento en sistemas cuánticos

Estudio de la entropía de entrelazamiento en la cadena XX

Asier López Gordón

Departamento de Física Teórica

Supervisores: Federico Finkel Mongenstern y Artemio González-López

24 de julio de 2020



Esquema del trabajo

- 1 Definición de la entropía de entrelazamiento S_L
- 2 Presentación del modelo XX
 - Equivalencia con un sistema de fermiones libres
 - Diagonalización del hamiltoniano
- 3 Matriz de correlación \rightsquigarrow expresión exacta de S_L
- 4 Comportamiento asintótico de S_L
 - Relación con CFTs y criticalidad
 - Conjetura de Fisher-Hartwig $\rightsquigarrow S_L$ para $L \rightarrow \infty$
- 5 Conclusiones

La entropía como medida del grado de entrelazamiento

- Un sistema cuántico puede estar en un estado puro ρ y sus subsistemas en estados mezcla $\rho_i \rightarrow$ entrelazamiento
- Nos gustaría poder cuantificar cómo de entrelazadas están entre sí las partes de un sistema.
- El entrelazamiento aparece en múltiples áreas de la física actual:
 - Información cuántica y computación cuántica
 - Sistemas de muchos cuerpos
 - Agujeros negros y gravedad cuántica
- Entropía de $\rho_\alpha \equiv$ grado de entrelazamiento del sistema
 - $\rho_\alpha \equiv$ matriz dens. reducida \equiv dist. de prob.
 - No es una entropía termodinámica.

Entropía de von Neumann

$$S[\rho] = -\text{tr}(\rho \log \rho) \quad (k_B = 1)$$

Propiedades:

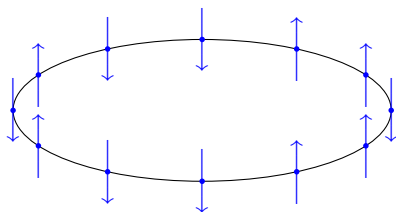
- $S[\rho] \geq 0$
- $S[\rho] = 0 \Leftrightarrow \rho$ estado puro
- $S\left[\bigotimes_{i=1}^L \rho_i\right] = \sum_{i=1}^L S[\rho_i]$
- $\rho_{A \cup B}$ estado puro $\implies S_A = S_B$

Modelo XX

El modelo XX consiste en una cadena (1D) de N partículas de espín 1/2 con interacciones a primeros vecinos en un campo magnético externo λ .

$$H_{XX} = \frac{1}{2} \sum_{l=0}^{N-1} (\sigma_l^x \sigma_{l+1}^x + \sigma_l^y \sigma_{l+1}^y) + \frac{\lambda}{2} \sum_{l=0}^{N-1} (\sigma_l^z + 1) \quad (\hbar = 1)$$

- Supongamos $\lambda \geq 0$ ($\lambda < 0$ corresponde a $|\uparrow\rangle \leftrightarrow |\downarrow\rangle$).
- Por simplicidad, tomamos CC periódicas: $0 \equiv N$.



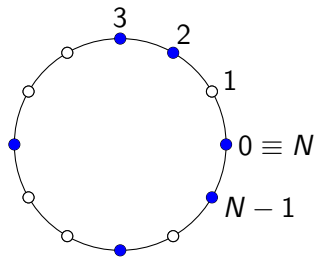
Sistema de fermiones libres

Transformación de Jordan-Wigner

$$a_l = \left(\prod_{m=0}^{l-1} \sigma_m^z \right) \sigma_l^-, \quad \sigma_l^\pm = \frac{\sigma_l^x \pm i\sigma_l^y}{2}$$

$$H_{XX} = - \sum_{l=0}^{N-1} \left(a_l^\dagger a_{l+1} + h.c. \right) + \lambda \sum_{l=0}^{N-1} a_l^\dagger a_l$$

- $a_l^\dagger a_{l+1}$ corresponde al salto (*hopping*) de un fermión de $l+1$ a l .
- $a_l^\dagger a_l$ mide si l está ocupado o no.
- H_{XX} conserva el número de fermiones.



Diagonalización de H_{XX}

- H_{XX} tiene simetría traslacional: $[T, H_{XX}] = 0$.

Transformada de Fourier

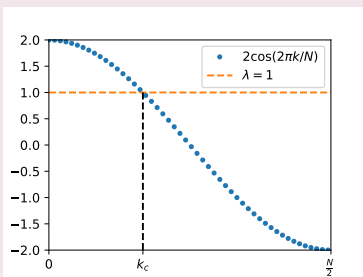
$$b_k = \frac{1}{\sqrt{N}} \sum_{l=0}^{N-1} a_l e^{-i\frac{2\pi}{N} kl}, \quad 0 \leq k \leq N-1$$

$$H_{XX} = \sum_{k=0}^{N-1} \Lambda_k b_k^\dagger b_k \equiv \sum_{k=0}^{N-1} \Lambda_k n_k, \quad \Lambda_k = \lambda - 2 \cos\left(\frac{2\pi k}{N}\right)$$

- b_k^\dagger actuando sobre $|0 \cdots 0\rangle$ crea un fermión con momento $\frac{2\pi k}{N} \pmod{2\pi}$ y energía Λ_k .

Fases del sistema

Relación de dispersión



$$\Lambda_k = \lambda - 2 \cos\left(\frac{2\pi k}{N}\right)$$

$$k_c = \left\lceil \frac{N}{2\pi} \arccos\left(\frac{\lambda}{2}\right) \right\rceil$$

- Si $\lambda > 2$, $\Lambda_k > 0 \forall k$
 - $|\text{GS}\rangle = |0 \cdots 0\rangle = |\downarrow\rangle \otimes \cdots \otimes |\downarrow\rangle \Rightarrow S_L = 0$
 - $E(|\text{GS}\rangle) = 0$
- Si $0 \leq \lambda < 2$
 - $|\text{GS}\rangle$ estado mezcla $\Rightarrow S_L \neq 0$
 - $E(|\text{GS}\rangle) = \sum_{k=0}^{k_c} \Lambda_k + \sum_{N-k_c}^{N-1} \Lambda_k$
- En $\lambda = 2$ se produce la transición de fase crítica-ferromagnética.

Método de la matriz de correlación

- Queremos determinar S_L para un bloque de L espines adyacentes.

$$\langle b_p^\dagger b_q \rangle = \begin{cases} 1 & \text{si } p = q \text{ y } \Lambda_p < 0 \\ 0 & \text{en caso contrario} \end{cases}, \quad \langle \rangle \equiv \langle \rangle_{|GS}$$

$$A_{mn} \equiv \langle a_m^\dagger a_n \rangle = \frac{2}{N} \sum_{k=0}^{k_c} \cos \left[\frac{2\pi}{N} k(m-n) \right] - \frac{1}{N}, \quad 0 \leq m, n \leq L-1$$

- En el límite termodinámico $N \rightarrow \infty$

$$A_{mn} = \frac{1}{\pi} \int_0^{p_c} \cos [p(m-n)] dp = \frac{1}{\pi} \frac{\sin [p_c(m-n)]}{m-n}, \quad p_c = \arccos(\lambda/2)$$

Descorrelación ρ_L

- A partir de una cierta CL de $\{a_m, a_m^\dagger\}_{m=1}^L$ se pueden definir unos operadores $\{g_p, g_p^\dagger\}_{p=1}^L$ tales que en la base de operadores $\{g_p, g_p^\dagger, g_p^\dagger g_p, g_p g_p^\dagger\}$ la matriz densidad del bloque se escribe

$$\rho_L = \bigotimes_{p=1}^L \varrho_p, \quad \varrho_p = \begin{pmatrix} \nu_p & \\ & 1 - \nu_p \end{pmatrix}, \quad \{\nu_p\}_{p=1}^L \text{ autovalores de } \mathbf{A}$$

Fórmula exacta para la entropía de entrelazamiento

Por la aditividad de la entropía de von Neumann, podemos escribir

$$S_L = \sum_{l=1}^L S[\rho_l] = \sum_{l=1}^L H_2(\nu_l), \quad H_2(x) = -x \log x - (1-x) \log(1-x)$$

$$\{\nu_l\}_{l=1}^L \text{ autovalores de } A_{mn} = \frac{1}{\pi} \frac{\sin [p_c(m-n)]}{m-n}, \quad p_c = \arccos(\lambda/2)$$

- Mediante esta técnica el problema de diagonalizar la matriz densidad ρ_L , de dimensión $2^L \times 2^L$, queda reducido al de diagonalizar \mathbf{A} ($L \times L$) (¡tiempo polinómico en lugar de exponencial!).
- Única particularidad del modelo: p_c (rel. de dispersión).

Comportamiento asintótico de la entropía de entrelazamiento

- La expresión exacta que hemos obtenido para S_L no proporciona directamente el comportamiento de S_L al crecer L con $L \rightarrow \infty$.
- Este comportamiento asintótico es crucial para determinar las propiedades críticas del sistema, así como su comportamiento bajo transformaciones del grupo conforme.
- Un sistema no-crítico tiene un *gap* $\Delta E \geq c > 0$ para $N \rightarrow \infty$, con c indep. de N .
- S_L satura para los sistemas no-críticos (*gapped*), mientras que presenta un crecimiento ilimitado para los sistemas críticos (*gapless*).

CFTs y comportamiento asintótico

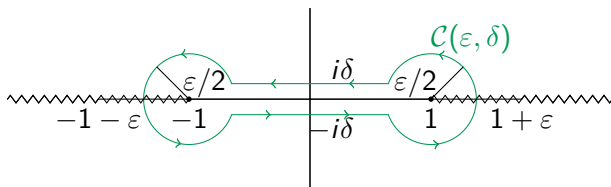
- Los sistemas sin *gap* no tienen una escala natural (que proporcionaría $\xi \equiv 1/\Delta E$), de modo que son invariantes bajo dilataciones.
- Si el hamiltoniano es invariante bajo el grupo conforme completo, el modelo es equivalente a una teoría de campo conforme (CFT) en el régimen de baja energía.
- La clase de universalidad de una CFT viene dada por su carga central c , que podemos determinar a partir de $\lim_{L \rightarrow \infty} S_L / \log L$.

Conjetura de Fisher-Hartwig y método de Jin y Korepin

- El comportamiento asintótico de S_L se puede determinar de forma analítica para la cadena XX.
- La matriz de correlación A_{mn} es una matriz de Toeplitz: depende de m y n únicamente a través de $m - n$.
- La conjetura de Fisher-Hartwig proporciona el comportamiento asintótico del determinante para matrices de Toeplitz que verifican ciertos requisitos.
- La matriz de Toeplitz que nos interesa es

$$\mathbf{T}_L = \mu - (2\mathbf{A} - \mathbb{1}), \quad D_L(\mu) \equiv \det \mathbf{T}_L = \text{polinomio característico de } \mathbf{A}$$

Principio del argumento



$$S_L = \sum_{l=1}^L H_2(\nu_l) \stackrel{?}{\sim} \oint_{\mathcal{C}(\epsilon, \delta)} H_2(\mu) d \log D_L(\mu) \sim \cancel{\oint_{\mathcal{C}(\epsilon, \delta)} H_2(\mu) d \log D_L(\mu)},$$

$$H_2(\mu) = \frac{1}{2} \log \left(\frac{x + \tilde{\nu}}{x - \tilde{\nu}} \right) = \frac{1}{2} \left(\log(x + \tilde{\nu}) - \log(x - \tilde{\nu}) \right)$$

Fórmula asintótica para S_L

Reemplazando $D_L(\mu)$ por su expresión asintótica, proporcionada por la conjetura de Fisher-Hartwig, y desarrollando las integrales finalmente obtenemos

$$S_L \simeq \frac{1}{3} \log L + \frac{1}{3} \log(2 \sin p_c) + \Upsilon_1, \quad L \rightarrow \infty$$
$$\Upsilon_1 = \int_0^\infty \left[-\frac{e^{-t}}{3t} - \frac{1}{t \sinh^2(t/2)} + \frac{\cosh(t/2)}{2 \sinh^3(t/2)} \right] dt \simeq 0.495018$$

S_L escala como $\frac{1}{3} \log L$, corresp. a una CFT con $c = 1$ (bosón libre).

Fórmula asintótica vs. valores exactos

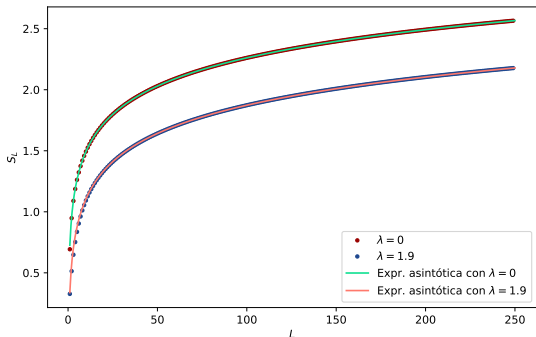


Figura: Valor exacto de S_L para un bloque de L espines de la cadena XX en $|GS\rangle$ y ajuste a la fórmula asintótica. La máxima entropía se da para $\lambda = 0$, conforme λ aumenta S_L disminuye, hasta que en $\lambda = 2$ S_L satura en 0, se produce la transición de fase y $|GS\rangle$ pasa a ser un estado producto.

Conclusiones

- 1 La entropía de entrelazamiento permite cuantificar el grado de entrelazamiento en un cierto estado de un sistema cuántico.
- 2 La cadena XX, formada por espines $\frac{1}{2}$ que interactúan entre sí y con un campo magnético externo, es equivalente a un sistema de fermiones libres mediante una transf. de Jordan-Wigner.
- 3 Conocida la relación de dispersión Λ_k del modelo (\Rightarrow conocido p_c) es posible escribir su matriz de correlación en el LT y, a partir de esta, el valor exacto de S_L .
- 4 El crecimiento logarítmico de S_L para $L \rightarrow \infty$ se relaciona estrechamente con la criticalidad del modelo y su equivalencia con CFTs.
- 5 Si A_{mn} es una matriz de Toeplitz, el comportamiento asintótico de S_L para $L \rightarrow \infty$ se puede determinar de forma analítica.

Problemas abiertos

- 1 Si A_{mn} no es Toeplitz (o no un caso probado de la conjetura de F-H), es complicado determinar S_L para $L \rightarrow \infty$. Para algunos modelos se puede aprovechar su equivalencia con una CFT.
- 2 El comportamiento asintótico de S_L para estados térmicos del modelo XX se ha estimado numéricamente y mediante CFTs.
- 3 La búsqueda de expresiones exactas para S_L (en $D \geq 1$) es un campo abierto de investigación.
- 4 Estos resultados podrían proporcionar soluciones a problemas relacionados con el entrelazamiento cuántico en computación cuántica, sistemas de muchos cuerpos o física de altas energías.

FIN

¡Gracias por su atención!

